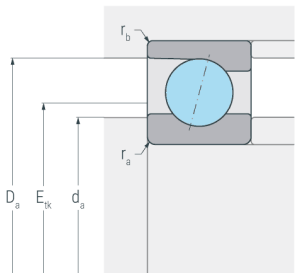
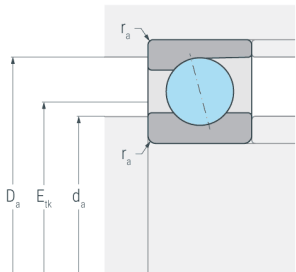


# HC7015C.T.P4S

Hochgeschwindigkeits-Hybridspindellager, angestellt, paar- oder satzweise, Druckwinkel 15°, Hartgewebekäfig, eingengte Toleranzen, Ringe aus Qualitätswälzlagerstahl, Wälzkörper aus Siliziumnitrid



## Abmessungen

|                          |      |     |                         |
|--------------------------|------|-----|-------------------------|
| <b>d</b>                 | (mm) | 75  | Bohrungsdurchmesser     |
| <b>D</b>                 | (mm) | 115 | Außendurchmesser        |
| <b>B</b>                 | (mm) | 20  | Breite                  |
| <b>a</b>                 | (mm) | 23  | Stützweite              |
| <b>r<sub>s min</sub></b> | (mm) | 1.1 | minimaler Kantenabstand |

## Druckwinkel

|          |     |    |             |
|----------|-----|----|-------------|
| <b>α</b> | (°) | 15 | Druckwinkel |
|----------|-----|----|-------------|

## Anschlussmaße

|                          |      |      |                                 |
|--------------------------|------|------|---------------------------------|
| <b>d<sub>a H12</sub></b> | (mm) | 82   | Durchmesser der Wellenschulter  |
| <b>D<sub>a H12</sub></b> | (mm) | 107  | Durchmesser der Gehäuseschulter |
| <b>r<sub>a max</sub></b> | (mm) | 1    | maximaler Rundungsradius        |
| <b>E<sub>tk</sub></b>    | (mm) | 92.4 | Einspritzteilkreis              |
| <b>E<sub>tk1</sub></b>   | (mm) | 91   | Einspritzteilkreis              |

## Gewicht

|           |  |       |         |
|-----------|--|-------|---------|
| <b>kg</b> |  | 0.675 | Gewicht |
|-----------|--|-------|---------|



# HC7015C.T.P4S

Hochgeschwindigkeits-Hybridspindellager, angestellt, paar- oder satzweise, Druckwinkel 15°, Hartgewebekäfig, eingengte Toleranzen, Ringe aus Qualitätswälzlagerstahl, Wälzkörper aus Siliziumnitrid

## Leistungsdaten

|                             |                      |       |                                 |
|-----------------------------|----------------------|-------|---------------------------------|
| <b>C<sub>r</sub></b>        | (kN)                 | 26.3  | dynamische Tragzahl, radial     |
| <b>C<sub>Or</sub></b>       | (kN)                 | 16.5  | statische Tragzahl, radial      |
| <b>C<sub>ur</sub></b>       | (kN)                 | 0.655 | Ermüdungsgrenzbelastung, radial |
| <b>n<sub>G Grease</sub></b> | (min <sup>-1</sup> ) | 22000 | Grenzdrehzahl, Fettschmierung   |
| <b>n<sub>G Oil</sub></b>    | (min <sup>-1</sup> ) | 34000 | Grenzdrehzahl, Ölschmierung     |
| <b>F<sub>VL</sub></b>       | (N)                  | 64    | Vorspannkraft, leicht           |
| <b>F<sub>VM</sub></b>       | (N)                  | 192   | Vorspannkraft, mittel           |
| <b>F<sub>VS</sub></b>       | (N)                  | 378   | Vorspannkraft, schwer           |
| <b>C<sub>aL</sub></b>       | (N/μm)               | 54    | axiale Steifigkeit, leicht      |
| <b>C<sub>aM</sub></b>       | (N/μm)               | 82    | axiale Steifigkeit, mittel      |
| <b>C<sub>aS</sub></b>       | (N/μm)               | 110   | axiale Steifigkeit, schwer      |
| <b>K<sub>aEL</sub></b>      | (N)                  | 187   | Abhebekraft, leicht             |
| <b>K<sub>aEM</sub></b>      | (N)                  | 578   | Abhebekraft, mittel             |
| <b>K<sub>aES</sub></b>      | (N)                  | 1199  | Abhebekraft, schwer             |